

УДК 004.083

О. В. Брягін<sup>1</sup>, С. Ю. Орлов<sup>2</sup>, Г. Н. Розорінов<sup>2</sup>

<sup>1</sup>Міністерство внутрішніх справ України  
вул. Богомольця, 10, 01024 Київ, Україна

<sup>2</sup>Національний технічний університет України «КПІ»  
проспект Перемоги, 37, 03056 Київ, Україна

## Оцінка якості робочого шару магнітних носіїв

*Розглянуто новий метод оцінки якості магнітних носіїв будь-якого типу, що базується на використанні принципів цифрової обробки багатомірних сигналів. Розроблено структурні схеми для практичної реалізації методу.*

**Ключові слова:** магнітний носій, багатомірні сигнали, функція розподілу ймовірностей, випадковий процес.

### Вступ

Проблема удосконалення процедур оцінки якості робочого шару магнітних носіїв є актуальною з початку їхнього застосування. Одними із основних факторів, які активно спонукають проведення досліджень у цій галузі на сьогоднішній день, намагання уникнути технологічних утрат під час їхнього виробництва та забезпечення цілісності записаної на магнітному носіїві інформації, у тому числі — під час виконання технологічних процедур відновлення інформації з носіїв, які зазнали тих або інших пошкоджень. Спектр методів, що використовуються при цьому, охоплює як традиційні методи контролю, так і методи, засновані навіть на використанні нанотехнологій, — наприклад таких, як скануюча зондова мікроскопія [1–3].

Сутність більшості традиційних методів оцінки якості робочого шару магнітних носіїв полягає в тому, що попередньо записаний випробувальний сигнал потім відтворюється та порівнюється із заздалегідь встановленим порогом. Відтворений сигнал, який нижче порогу, вказує на неякісні місця магнітного носія (дефекти). Рівень порогу встановлюють у залежності від вимог до носія. При оцінці якості носіїв рівень порогу звичайно вибирають на 50 % (6 дБ) нижче середнього рівня сигналу, що відтворюється [4].

Записуваний випробувальний сигнал являє собою послідовність імпульсів зі шпаруватістю 2 або синусоїдальний сигнал, що відповідає заданій щільності запису на носій. Запис відбувається в режимі отримання максимального вихідного сигналу, тобто в режимі, близькому до магнітного насичення носія.

© О. В. Брягін, С. Ю. Орлов, Г. Н. Розорінов

## Постановка задачі

Вбачається доцільним отримати оцінку якості робочого шару із застосуванням методу, який не мав би недоліків, притаманних більшості методів оцінки. Це насамперед такі:

— необхідність запису на носій випробувального сигналу. Це призводить до зміни початкового стану робочого шару носія та не дозволяє оцінити якість власне носія, а також до ускладнення апаратури контролю;

— невисока роздільна здатність і точність оцінки якості, через те, що аналіз параметрів фактично паразитної амплітудної модуляції відтвореного сигналу на інтервалі реєстрації здійснюється послідовно потактово;

— невисока продуктивність процедури оцінки якості магнітного носія, у зв'язку з необхідністю виконання вимірів в одній доріжці.

## Рішення

У цій роботі здійснена спроба усунути всі ці недоліки за рахунок використання принципів цифрової обробки багатомірних сигналів [5].

Для створення множини (поля) сигналів використовується багатодоріжковий блок (БДБ) тонкоплівкових магнітних головок. Число головок у БДБ  $b \geq 2$ . Один з можливих варіантів структурної схеми обробки відтворених сигналів показаний на рис. 1.

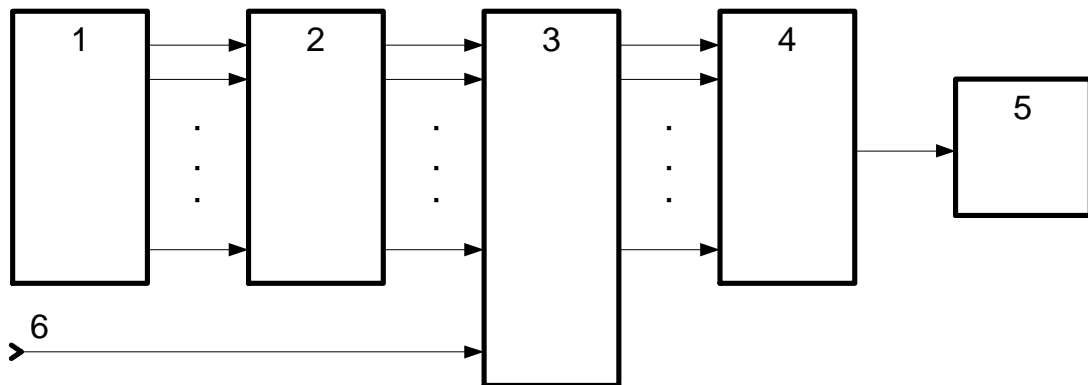


Рис. 1. Структурна схема обробки відтворених сигналів

При русі магнітного носія відносно БДБ 1 на виходах усіх  $i$  головок з'являються випадкові сигнали (шуми магнітного носія):

$$n_i(t) = \alpha \cdot \Phi_i(t), \quad i = \overline{1, M}, \quad (1)$$

де  $\alpha$  — чутливість відтворюючої головки по потоку;  $\Phi_i(t)$  — шумовий потік, що наводиться носієм в  $i$ -й головці;  $M$  — число відтворюючих головок.

Ці сигнали підсилюються в блоці 2 підсилювачів відтворення та на його виходах формуються сигнали

$$N_i(t) = k \cdot n_i(t), \quad i = \overline{1, M}, \quad (2)$$

де  $k$  — коефіцієнт підсилення кожного підсилювача.

Підсилені випадкові сигнали, що знімаються з виходів кожного підсилювача, подаються на відповідні порогові елементи (наприклад компаратори) блоку 3. Ці сигнали порівнюються з тим самим пороговим рівнем  $x$ , що встановлюється одночасно на всіх порогових елементах у настановній шині 6. Тоді на виходах блоку 3 порогових елементів формуються випадкові сигнали:

$$U_i(x, t) = \begin{cases} A, & \text{при } N_i(t) \leq x, \\ 0, & \text{при } N_i(t) > x, \quad i = \overline{1, M}, \end{cases} \quad (3)$$

де  $A$  — відмінна від нуля стала.

Сигнали, що знімаються з виходів блоку 3 порогових елементів підсумовуються суматором 4, на виході якого утвориться сигнал вигляду

$$V(x, t) = \frac{1}{M} \sum_{i=1}^M U_i(x, t). \quad (4)$$

Цей сигнал, що надходить далі на реєстратор 5, являє собою підсилену в  $A$  раз незміщену та слухну оцінку функції розподілу ймовірностей випадкового процесу  $N(t)$ , представленого ансамблем реалізацій  $N_i(t)$ , тобто оцінку функції розподілу ймовірностей власних шумів магнітного носія, підсилених в  $\alpha \cdot k$  раз [6].

При рівномірному русі магнітного носія відносно магнітних головок за умови однорідного бездефектного робочого покриття рівної товщини процесу  $N_i(t)$  будуть стаціонарні. Тому величина сигналу  $V(x, t)$ , що надходить на вхід реєстратора 5 (самописа, осцилографа, лічильника і т.п.), залишається практично постійною.

Якщо в робочому шарі носія є дефекти (піщинки, окатиші, немагнітні вкраплення, пустоти), то ймовірність того, що випадкові сигнали  $N_i(t)$ , які знімаються з відповідних підсилювачів, не перевершать за величиною пороговий рівень  $x$ , зміниться. Отже, зміниться й величина  $V(x, t)$ , що буде зафіксовано реєстратором 5.

Більш гнучкою є схема, показана на рис. 2, завдяки можливості зміни роздільної здатності оцінки якості робочого шару носія.

Ця схема обробки містить у собі два однакових канали, в яких розміщені блоки порогових елементів 3, 6 і суматори 4, 7. В одному з цих каналів установлений блок 5 елементів затримки. Сигнали порога подаються на обидва порогових елемента 3, 6 настановною шиною 10.

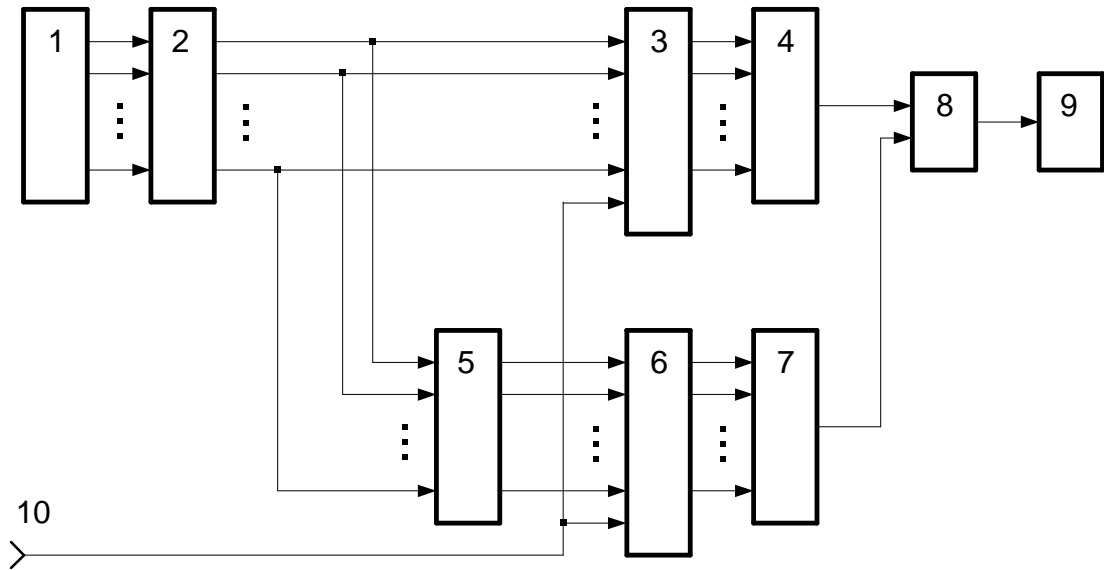


Рис. 2. Структурна схема обробки відтворених сигналів з елементами затримки

Підсилені сигнали відтворення надходять на відповідні порогові елементи блоку 3. Тоді на виходах цього блоку формуються випадкові сигнали, що задовольняють умовам (3). Сигнали, що знімаються з виходів блоку 3 порогових елементів утворюють сигнал вигляду:

$$V = (x, t) = \frac{1}{MA} \sum_{i=1}^M U_i(x, t). \quad (5)$$

Одночасно відтворені підсилені сигнали подаються на входи блоку 5 елементів затримки, за допомогою якого затримуються на деякий час  $\tau$ , після чого сигнали далі надходять на входи додаткового блоку 6 порогових елементів. Блок 6 нічим не відрізняється від блоку 3, та в ньому затримані сигнали порівнюються з тим же пороговим рівнем  $x$ . На виходах блоку 6 порогових елементів формуються випадкові сигнали:

$$U_i(x, t - \tau) = \begin{cases} A, & \text{при } N_i(t - \tau) \leq x, \\ 0, & \text{при } N_i(t - \tau) > x, \quad i = \overline{1, M}. \end{cases} \quad (6)$$

Сигнали  $U_i(x, t - \tau)$  підсумовуються за допомогою суматора 7, у результаті чого утворюється сигнал:

$$V(x, t - \tau) = \frac{1}{MA} \sum_{i=1}^M U_i(x, t - \tau). \quad (7)$$

Сигнали, що знімаються з виходів суматорів 4 і 7, надходять на віднімач 8, що виробляє різницю

$$V(x, t, \tau) = V(x, t) - V(x, t - \tau). \quad (8)$$

Цей сигнал надходить далі на реєстратор 9 і являє собою різницю незміщених і слухних незатриманих і затриманих оцінок функцій розподілу ймовірностей власних шумів магнітного носія, підсилених в  $\alpha \cdot k$  раз. При рівномірному русі магнітного носія відносно магнітних головок за умови однорідного бездефектного рівнотовщинного робочого покриття носія в силу стаціонарності незатриманих  $N_i(t)$  і затриманих  $N_i(t - \tau)$  сигналів оцінки  $V(x, t)$  та  $V(x, t - \tau)$  практично збігаються, внаслідок чого на реєстратор 9 буде надходити сигнал  $V(x, t, \tau) \approx 0$ .

Якщо в робочому шарі носія є дефекти, то на входи віднімача 8 будуть надходити різні сигнали. В ланцюзі з затримкою формується сигнал, що представляє собою оцінку функції розподілу ймовірностей власних шумів бездефектного носія, а в ланцюзі без затримки — сигнал, що представляє собою оцінку функції розподілу ймовірностей шумів дефектної ділянки носія. В результаті на виході віднімача 8 виробляється сигнал  $V(x, t, \tau)$  відмінний від нуля, що виявляється реєстратором 9. Вибір величини затримки  $\tau$  визначається необхідною роздільною здатністю контролю при заданій швидкості руху носія (звичайно 0,01...1 мс).

Недоліком схеми, приведеної на рис. 2, є складність, обумовлена наявністю великої кількості елементів затримки. Від цього недоліку вільна схема, показана на рис. 3.

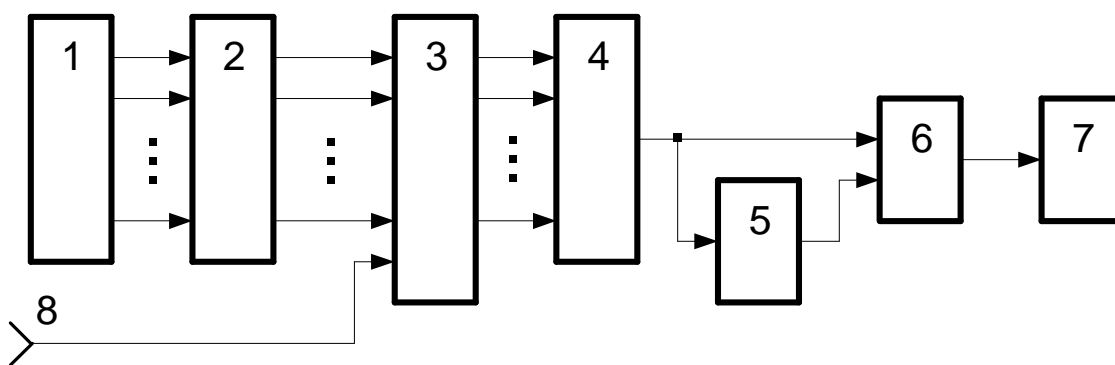


Рис. 3. Оптимальна структурна схема обробки відтворених сигналів

Сигнали, що знімаються з виходів блоку 3 порогових елементів підсумовуються суматором 4, на виході якого утвориться випадковий сигнал (4). Цей сигнал затримується елементом 5 затримки на час  $\tau$ , після чого віднімається з незатриманого сигналу  $V(x, t)$  за допомогою віднімача 6, на виході якого формується різни-

цевий сигнал (8), який надходить далі на реєстратор 7. Якщо в робочому шарі носія є дефекти, то сигнал  $V(x, t - \tau)$  протягом часу  $\tau$  буде зберігати своє колишнє значення (що являє собою оцінку функції розподілу ймовірностей шумів бездефектного носія), а сигнал  $V(x, t)$  змінить своє значення (що являє собою оцінку функції розподілу ймовірностей власних шумів дефектної ділянки носія). У результаті сигнал  $V(x, t, \tau)$  стане відмінним від нуля, що й буде зафіксовано реєстратором 7.

## Висновки

Запропонований метод дозволяє оцінювати якість робочого шару магнітних носіїв з високою роздільною здатністю, точністю та продуктивністю, не записуючи на носій випробувальний сигнал. При цьому статистична точність оцінки якості тим вище, чим більше значення порогу  $x$ , а різницеві методи обробки дозволяють підвищувати точність оцінки при збереженні роздільної здатності або підвищувати роздільну здатність при збереженні точності оцінки.

1. *Кожневский С.* Методы визуализации магнитных полей носителей информации [Электронный ресурс] / С. Кожневский, С. Левый, В. Вишнеvский, С. Прокопенко. — Режим доступа: <http://www.epos.ua/pubs/visual.htm>

2. *Losev V.V.* SPM Analysis of the CD/DVD Discs [Электронный ресурс] / V.V. Losev, S.A. Saunin, V.V. Zhizhimontov. — Режим доступа: <http://www.ntmdt.ru/spm-notes/view/spm-analysis-of-the-cddvd-discs>

3. Общество с ограниченной ответственностью Научно-производственное предприятие «АСЕ» Программно-аппаратный комплекс для ремонта HDD ATA, SATA PC-3000 [Электронный ресурс]. — Режим доступа: <http://www.acelab.ru/dep.pc/hdd.php>

4. *Василевский Ю.А.* Носители магнитной записи. — М.: Искусство, 1989. — 287 с.

5. *Даджион Д.* Цифровая обработка многомерных сигналов / Д. Даджион, Р. Мерсеро; пер. с англ. — М.: Мир, 1988. — 488 с.

6. *Лившиц Н.А.* Вероятностный анализ систем автоматического управления / Н.А. Лившиц, В.Н. Пугачев. — Кн. 1. — М.: Сов. радио, 1963. — 896 с.

Надійшла до редакції 02.12.2008